

Université De Montpellier
Faculté Des Sciences



Niveau : Master 2

Module : Évolution et restructuration des logiciels

HAI913I

Rapport de TP N°3 : Compréhension des programmes

Supervisé par :
M. Abdelhak-Djamel Seriali
M. Marianne Huchard

Réalisé par :
AHMED Kaci
YANIS Allouch

2021/2022

Table des matières

1	Introduction	2
2	Graphe de couplage entre classes	3
2.1	Calcul de la métrique de couplage	3
2.2	Génération du graphe de couplage	4
3	Identification de Modules	5
4	Spoon pour l'identification de modules	6
5	Analyse des temps d'exécution	7
6	Conclusion	10
7	Annexe	11
7.1	Ressources utilisées	11
7.2	Traces d'exécution	11
	Références bibliographiques	17

1 Introduction

Dans ce TP, ayant pour thème la compréhension des logiciels, nous allons réaliser une application permettant d'analyser le code source d'un programme java en se basant sur son [arbre de syntaxe abstraite](#) (AST). D'une part, nous manipulerons cette AST en utilisant [Eclipse JDT ASTParser](#) dont le fonctionnement se base sur le patron de conception [Visiteur](#). D'autre part, nous utiliserons la librairie [Spoon](#) [1] développée par l'INRIA.

Tout d'abord, nous présenterons le travail effectué sur le graphe de couplage entre classes.

Puis, nous expliciterons la réalisation de l'identification de modules.

Par la suite, nous détaillerons sommairement le travail réimplémenté en Spoon.

Enfin, nous terminerons avec une partie d'analyse des temps d'exécution.

Lien du dépôt GitLab du [projet](#) est le suivant :

https://gitlab.com/kaciahmed3/tp_comprehension_logiciel_hai913i. Un accès Reporter au compte GitLab [@rechercheseriai](#) a aussi été fourni.

Par ailleurs, les applications de tests et leurs résultats, utilisés dans ce rapport, sont disponibles sur ce [dépôt GitLab public](#) et [ce tableur Google Sheets public](#) fait par nos soins permettant une agrégation des résultats.

L'application réalisée prend en argument le chemin vers le dossier src contenant le programme java à analyser. Et cela s'applique dans tous les cas abordés dans ce rapport.

2 Graphe de couplage entre classes

Dans cet exercice, nous avons implémenté une métrique permettant de mesurer le couplage entre deux classes d'un programme. Puis, nous avons généré un graphe de couplage en appliquant cette métrique sur l'ensemble des classes de l'application analysé. La définition de cette métrique indiquée dans le sujet du TP, est la suivante :

- Nombre de relations (relation = appel) entre les couples de méthodes appartenant respectivement aux deux classes en question (A.mi et B.mj) / nombre de toutes les relations (binaire) entre les couples de méthodes appartenant respectivement à n'importe quelles deux classes de l'application analysée.

2.1 Calcul de la métrique de couplage

Nous avons choisi de l'implémenter de la façon suivante :

1. Nous récupérons l'ensemble des classes obtenues en utilisant le patron de conception visiteur,
2. Pour chaque classe, nous visitons chaque méthode déclarée,
3. Pour toutes méthodes déclarées, nous récupérons les invocations qu'elle effectue vers d'autres méthodes,
4. Pour chaque méthode invoquée, nous utilisons une résolution de type pour obtenir le nom de sa classe de déclaration,
5. Puis nous calculons le nombre total de relations entre toutes les classes ainsi que le nombre de relations entre chaque deux classes de l'application,
6. Enfin, nous calculons la métrique de couplage selon la définition rappelée précédemment.

2.2 Génération du graphe de couplage

Nous avons réalisé deux types de graphe de couplage pondéré ; un graphe ayant des relations orientées fournissant des informations détaillées sur le couplage entre les classes et un graphe non orienté qui sera utilisé pour l'identification de modules. Les graphes de couplages sont générés sous forme d'image PNG en utilisant du code DOT généré automatiquement par l'application après avoir effectué le parsing et le calcul du couplage entre les classes de l'application.

La [figure 1](#) et [figure 2](#) sont des échantillons du résultat fourni par le parsing de l'application [disposé sur ce lien GitLab public](#).

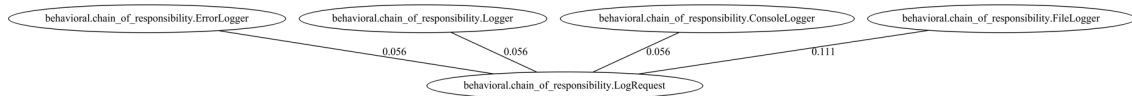


FIGURE 1 – Graphe de couplage bidirectionnel pondéré de l'application

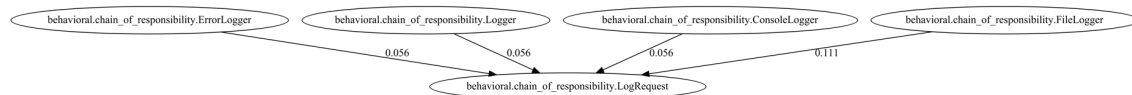


FIGURE 2 – Graphe de couplage unidirectionnel pondéré de l'application

3 Identification de Modules

Dans cet exercice, nous avons implémenté une identification de modules via la métrique basée sur le couplage entre deux classes précédent. La définition des algorithmes indiquée dans le sujet, sont les suivantes :

```
1 Clustering_hierarchique (fichiers code) : Arbre dendro;  
2  
3 classes := extraction_information(code);  
4 clusters = classes;  
5 tant que |clusters| > 1:  
6     (c1, c2) := clusterProche(clusters);  
7     c3 := Cluster(c1, c2);  
8     enleve(c1, clusters);  
9     enleve(c2, clusters);  
10    ajoute(c3, clusters);  
11 fin tant que;  
12 dendro := get(0, clusters);  
13 retour dendro;
```

Listing 1 – Algorithme n°1 du clustering hiérarchique

```
1 Selection_clusters (arbre dendro) : Partition R;  
2  
3 Pile parcoursClusters;  
4 empile(racine(dendro), parcoursClusters);  
5 tant que !vide(parcoursClusters):  
6     Cluster pere = depile(parcoursClusters);  
7     Cluster f1 = fils1(pere, dendro);  
8     Cluster f2 = fils2(pere, dendro);  
9     si S(pere) > moyenne(S(f1, f2)):  
10        ajouter(pere, R);  
11     sinon:  
12        empile(f1, parcoursClusters);  
13        empile(f2, parcoursClusters);  
14     fin si;  
15 fin tant que;  
16 retour R;
```

Listing 2 – Algorithme n°2 du partitionnement

Nous avons joint en annexe de ce TP la trace d'exécution permettant d'afficher les résultats obtenu à partir de l'application de l'algorithme de regroupement (clustering) hiérarchique sur le même projet cité précédemment.

Nous avons aussi joint en annexe la trace d'exécution permettant d'afficher les résultats obtenu à partir de l'application de l'algorithme d'identification des groupes de classes couplées.

4 Spoon pour l'identification de modules

Nous avons réimplémenté l'exercice 1 et 2 en utilisant cette fois-ci la bibliothèque Spoon. Ce dernier permet d'analyser et de transformer un code source Java.

L'implémentation en Spoon est similaire que l'implémentation réalisée pour l'exercice 1 et 2 avec l'ASTParser. Cependant, les résultats obtenus par l'analyse de la même application via Spoon donnent des résultats légèrement différents. Par exemple, la [figure 1](#) et la [figure 3](#) présente des résultats qui ne sont pas totalement identiques alors qu'ils résultent d'une même application analysée ([design pattern behavioral light](#)).

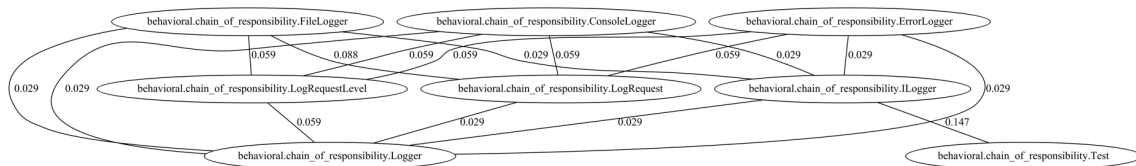


FIGURE 3 – Graphe de couplage bidirectionnel pondéré de l'application par Spoon

Les différences sont les suivantes :

1. Plus de type reconnu,
2. Des valeurs de couplages différentes.

La première différence, provient du fait que Spoon dispose d'un métamodèle plus complet et plus détaillé de Java. Ainsi, quand nous récupérons les types déclaratifs (statiquement) d'une application, nous récupérons aussi les interfaces, énumérations, etc. définies dans l'application analysée.

La différence entre les valeurs de couplages, est une conséquence du fait de la reconnaissance d'un plus grand nombre de types. Cependant, il est aussi possible que la résolution de type par ASTParser ne soit pas effective à 100%.

5 Analyse des temps d'exécution

Nous remarquons une différence non triviale du temps d'exécution via l'ASTParser et Spoon. Dans cette section, nous allons donc présenter les résultats des temps d'exécutions obtenus à partir des traces d'exécutions sur trois versions d'un même programme disposé sur [ce dépôt GitLab](#). Les résultats présentés ci-après, sont aussi disponibles dessus et sur [cette feuille de calcul](#).

Nous avons posé manuellement des sondes dans notre code permettant de capturer les temps d'exécutions des implémentations des exercices présentés dans ce rapport. Pour un total de trente résultats agrégés dans la feuille de calcul précédente.

Les résultats ont été obtenus sur un processeur [AMD Ryzen 5 2600X \(2018\) 6 Cœurs OC à 4 GHz](#) pendant les tests. Plusieurs exécutions ont été faites, les ordres de grandeurs sont similaires.

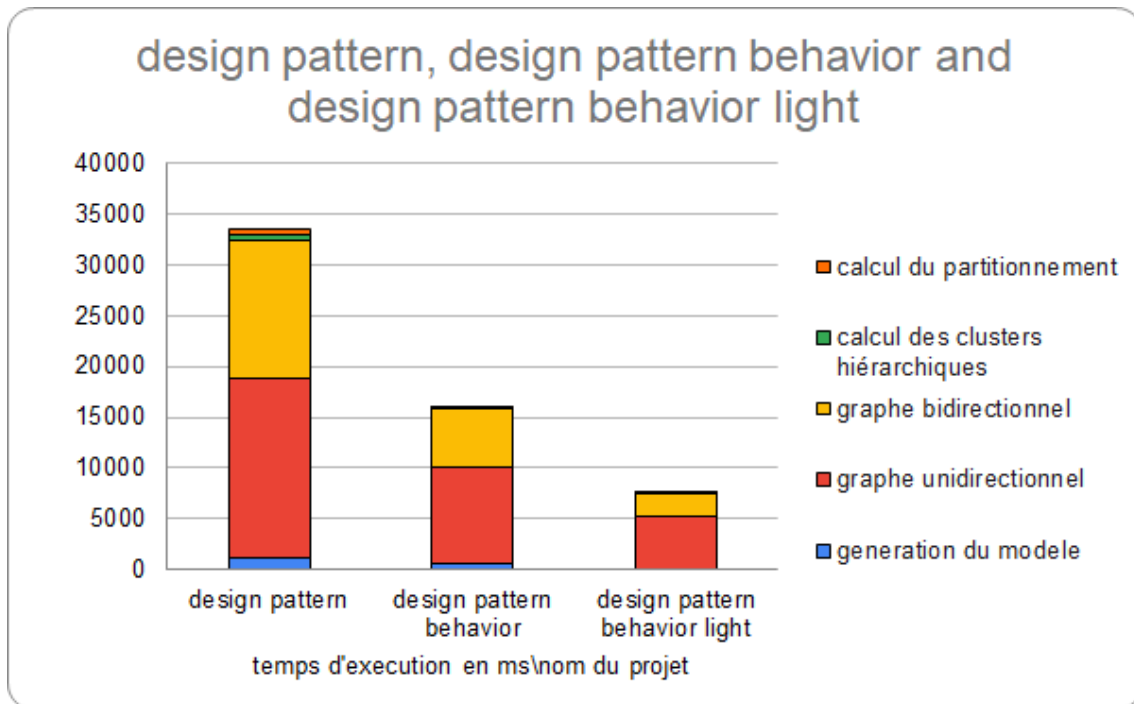


FIGURE 4 – Histogramme des temps d'exécutions cumulés par projet via ASTParser

La première observation des [figure 4](#) et [figure 5](#), nous permet de dire que le temps d'exécution croît a priori de manière exponentielle. Cette observation, nous permet de passer à la suivante, en effet, on observe que notre implémentation prend beaucoup de temps de calcul (significativement des autres métriques) sur le graphe de couplage (inhérent à la complexité algorithmique en $O(n^4)$).

De plus, une observation attentive de la [figure 5](#) permet de se rendre compte de la différence des résultats abordés dans la section précédente. C'est-à-dire que Spoon, grâce à un métamodèle plus complet, nous fournit davantage d'informations à traiter.

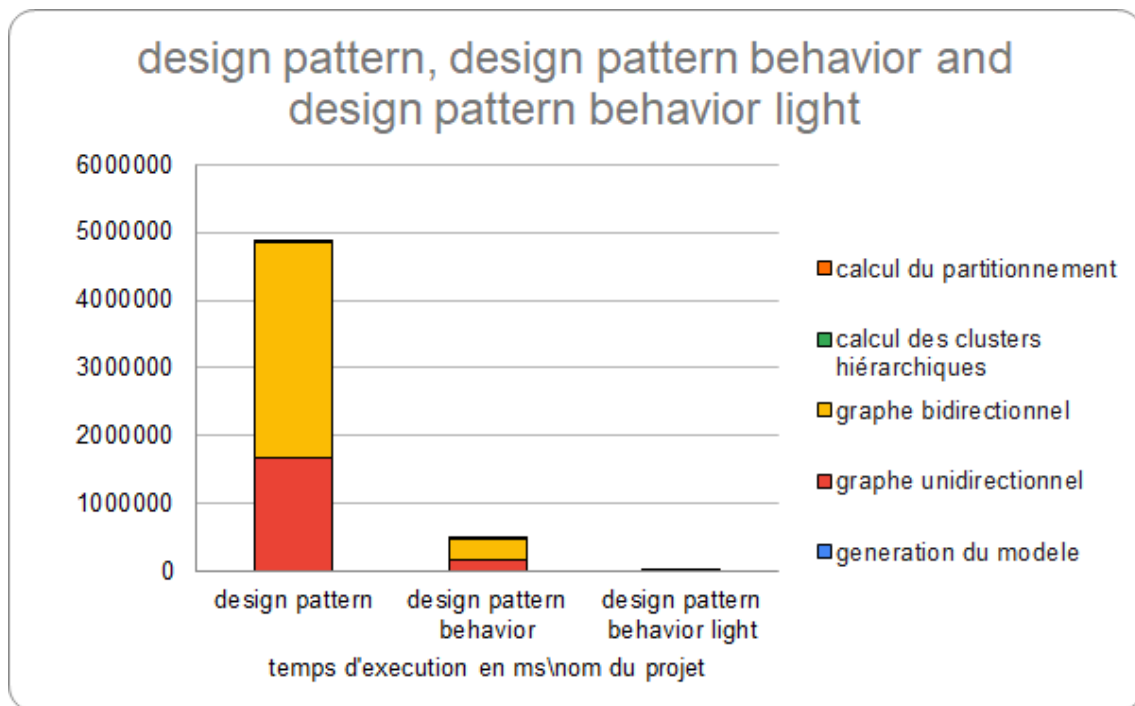


FIGURE 5 – Histogramme des temps d'exécutions cumulés par projet avec Spoon

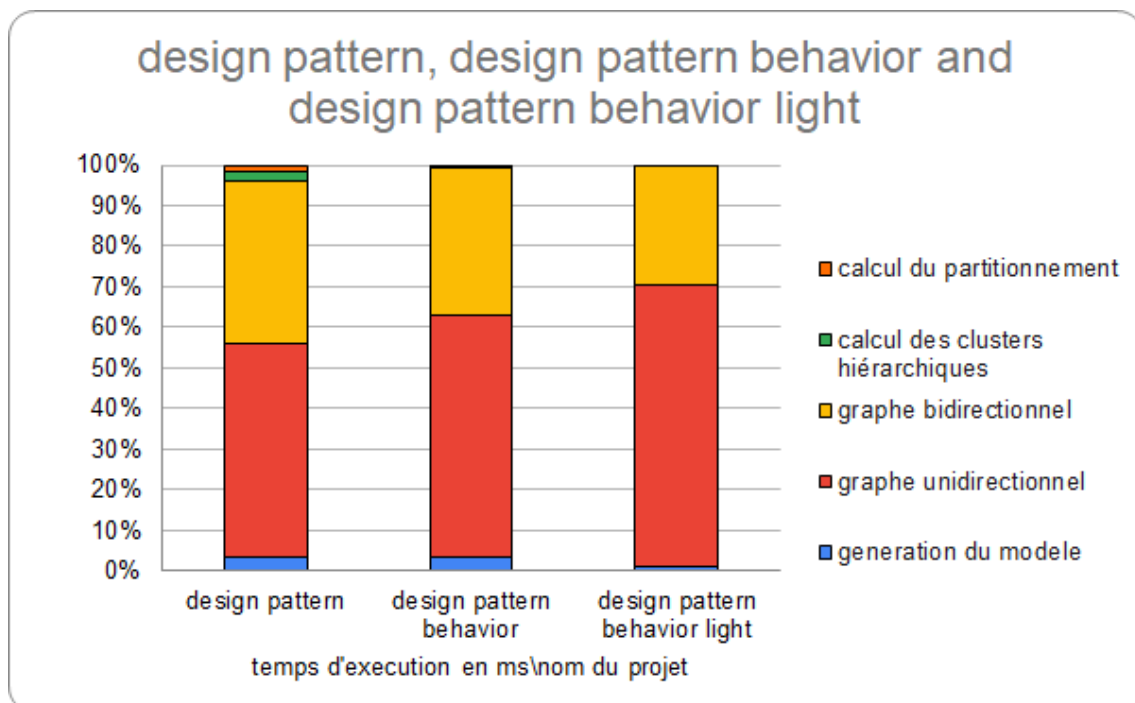


FIGURE 6 – Histogramme des proportions des temps d'exécutions cumulés par projet via ASTParser

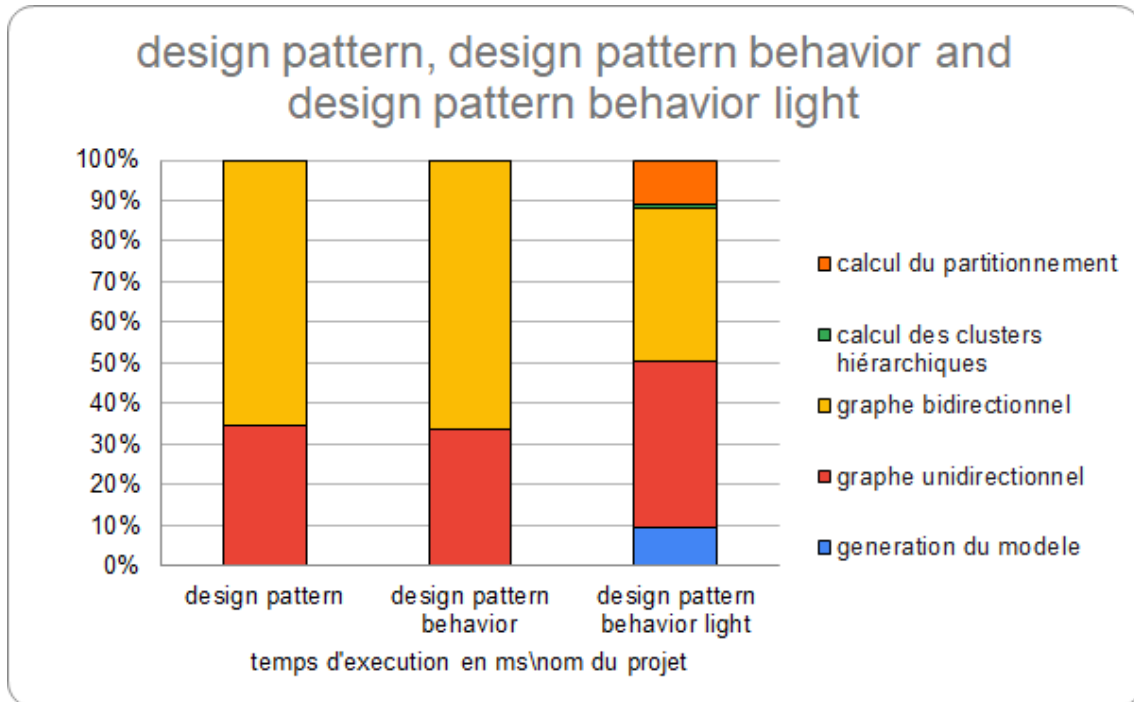


FIGURE 7 – Histogramme des proportions des temps d’executions cumulés par projet avec Spoon

Enfin, on observe d’une part sur la [figure 7](#) que l’implémentation en Spoon passe significativement plus de temps de calcul sur le graphe bidirectionnel, et que sur la [figure 6](#), l’implémentation ASTParser passe significativement plus de temps de calcul sur le graphe unidirectionnel. D’une autre part, on observe dans tous les cas que le temps de parsing par les librairies et le temps d’exécution de l’identification des modules est négligeable.

6 Conclusion

Dans ce TP, nous avons utilisé Eclipse JDT ASTParser et Spoon pour réaliser une application permettant l'analyse statique d'un programme. En se basant sur les résultats de cette dernière, nous avons calculé un ensemble d'informations statistiques qui ont permis par la suite d'être utilisé pour l'implémentation de la métrique de couplage entre classes. En outre, nous avons construit le graphe de couplage pondéré de l'application analysée. À partir des informations de ce graphe de couplage pondéré, nous avons implémenté un algorithme de clustering hiérarchique. Puis implémenté un autre algorithme permettant d'identifier des groupes de classes couplées au sein de l'application analysée. Enfin, nous avons procédé à des relevés de temps d'exécution de notre application. Et nous avons constaté, le caractère temporel allongé d'une analyse statique.

7 Annexe

7.1 Ressources utilisées

1. Documentation de l'API de ASTParser :
 - <https://help.eclipse.org/latest/topic/org.eclipse.jdt.doc.isv/reference/api/org/eclipse/jdt/core/dom/package-summary.html>.
2. Syntaxe de visualisation de graphe :
 - <https://graphviz.org/>,
3. Visualisation de graphe en ligne :
 - <https://dreampuf.github.io/GraphvizOnline/>.
4. Transformation Dot au format PNG en Java :
 - <https://github.com/nidi3/graphviz-java>.
5. Documentation de l'API Spoon :
 - <https://spoon.gforge.inria.fr/mvnsites/spoon-core/apidocs/>.
6. Site officiel de Spoon :
 - <https://spoon.gforge.inria.fr/>.

7.2 Traces d'exécution

Clustering hiérarchique

Trace d'exécution du clustering hiérarchique sur l'application [disposé sur ce lien GitLab public](#).

```
1 Valeur des cluster lors de l'initialisation :
2 Classe : behavioral.chain_of_responsibility.Logger
3 valeur de la metrique de couplage de ce cluster : 0.0
4
5 Classe : behavioral.chain_of_responsibility.FileLogger
6 valeur de la metrique de couplage de ce cluster : 0.0
7
8 Classe : behavioral.chain_of_responsibility.ErrorLogger
9 valeur de la metrique de couplage de ce cluster : 0.0
10
11 Classe : behavioral.chain_of_responsibility.LogRequest
12 valeur de la metrique de couplage de ce cluster : 0.0
13
14 Classe : behavioral.chain_of_responsibility.Test
15 valeur de la metrique de couplage de ce cluster : 0.0
16
17 Classe : behavioral.chain_of_responsibility.ConsoleLogger
18 valeur de la metrique de couplage de ce cluster : 0.0
19
20
```

```

21 Creation de la hierarchie des clusters :
22
23 Fusion entre clusters
24   Partie A De la fussion :
25 Classe : behavioral.chain_of_responsibility.FileLogger
26 Parie B de la fusion
27 Classe : behavioral.chain_of_responsibility.LogRequest
28 valeur du couplage : 0.111
29
30
31
32 Liste des cluster de cette etape:
33
34   Cluster :
35 Classe : behavioral.chain_of_responsibility.Logger
36 valeur de la metrique de couplage de ce cluster : 0.0
37
38
39   Cluster :
40 Classe : behavioral.chain_of_responsibility.ErrorLogger
41 valeur de la metrique de couplage de ce cluster : 0.0
42
43
44   Cluster :
45 Classe : behavioral.chain_of_responsibility.Test
46 valeur de la metrique de couplage de ce cluster : 0.0
47
48
49   Cluster :
50 Classe : behavioral.chain_of_responsibility.ConsoleLogger
51 valeur de la metrique de couplage de ce cluster : 0.0
52
53
54   Cluster :
55 Classe : behavioral.chain_of_responsibility.LogRequest
56 Classe : behavioral.chain_of_responsibility.FileLogger
57 valeur de la metrique de couplage de ce cluster : 0.111
58
59
60 Fusion entre clusters
61   Partie A De la fussion :
62 Classe : behavioral.chain_of_responsibility.Logger
63 Parie B de la fusion
64 Classe : behavioral.chain_of_responsibility.LogRequest
65 Classe : behavioral.chain_of_responsibility.FileLogger
66 valeur du couplage : 0.056
67
68
69
70 Liste des cluster de cette etape:
71
72   Cluster :
73 Classe : behavioral.chain_of_responsibility.ErrorLogger

```

```

74 valeur de la metrique de couplage de ce cluster : 0.0
75
76
77 Cluster :
78 Classe : behavioral.chain_of_responsibility.Test
79 valeur de la metrique de couplage de ce cluster : 0.0
80
81
82 Cluster :
83 Classe : behavioral.chain_of_responsibility.ConsoleLogger
84 valeur de la metrique de couplage de ce cluster : 0.0
85
86
87 Cluster :
88 Classe : behavioral.chain_of_responsibility.LogRequest
89 Classe : behavioral.chain_of_responsibility.Logger
90 Classe : behavioral.chain_of_responsibility.FileLogger
91 valeur de la metrique de couplage de ce cluster : 0.056
92
93
94 Fusion entre clusters
95 Partie A De la fussion :
96 Classe : behavioral.chain_of_responsibility.ErrorLogger
97 Parie B de la fusion
98 Classe : behavioral.chain_of_responsibility.LogRequest
99 Classe : behavioral.chain_of_responsibility.Logger
100 Classe : behavioral.chain_of_responsibility.FileLogger
101 valeur du couplage : 0.056
102
103
104
105 Liste des cluster de cette etape:
106
107 Cluster :
108 Classe : behavioral.chain_of_responsibility.Test
109 valeur de la metrique de couplage de ce cluster : 0.0
110
111
112 Cluster :
113 Classe : behavioral.chain_of_responsibility.ConsoleLogger
114 valeur de la metrique de couplage de ce cluster : 0.0
115
116
117 Cluster :
118 Classe : behavioral.chain_of_responsibility.ErrorLogger
119 Classe : behavioral.chain_of_responsibility.LogRequest
120 Classe : behavioral.chain_of_responsibility.Logger
121 Classe : behavioral.chain_of_responsibility.FileLogger
122 valeur de la metrique de couplage de ce cluster : 0.056
123
124
125 Fusion entre clusters
126 Partie A De la fussion :

```

```

127 Classe : behavioral.chain_of_responsibility.ConsoleLogger
128 Parie B de la fusion
129 Classe : behavioral.chain_of_responsibility.ErrorLogger
130 Classe : behavioral.chain_of_responsibility.LogRequest
131 Classe : behavioral.chain_of_responsibility.Logger
132 Classe : behavioral.chain_of_responsibility.FileLogger
133 valeur du couplage : 0.056
134
135
136
137 Liste des cluster de cette etape:
138
139 Cluster :
140 Classe : behavioral.chain_of_responsibility.Test
141 valeur de la metrique de couplage de ce cluster : 0.0
142
143
144 Cluster :
145 Classe : behavioral.chain_of_responsibility.ErrorLogger
146 Classe : behavioral.chain_of_responsibility.LogRequest
147 Classe : behavioral.chain_of_responsibility.Logger
148 Classe : behavioral.chain_of_responsibility.ConsoleLogger
149 Classe : behavioral.chain_of_responsibility.FileLogger
150 valeur de la metrique de couplage de ce cluster : 0.056
151
152
153
154 ***** liste Final des clusters *****
155
156
157 Affichage de la hierarchie des clusters
158 nouveau Cluster
159 Classe : behavioral.chain_of_responsibility.Test
160 valeur de la metrique de couplage de ce cluster : 0.0
161
162
163
164 nouveau Cluster
165 Classe : behavioral.chain_of_responsibility.ErrorLogger
166 Classe : behavioral.chain_of_responsibility.LogRequest
167 Classe : behavioral.chain_of_responsibility.Logger
168 Classe : behavioral.chain_of_responsibility.ConsoleLogger
169 Classe : behavioral.chain_of_responsibility.FileLogger
170 valeur de la metrique de couplage de ce cluster : 0.056
171
172
173
174 Temps d'execution de calcul des clusters avec ASTParser : 4 Ms

```

Listing 3 – Trace de l’algorithme n°1 du clustering hiérarchique

Identification des modules

Trace d'exécution de l'identification des modules sur l'application [disposé sur ce lien GitLab public](#).

```
1 Temps d'execution de la generation du model par ASTParser : 60 Ms
2 Temps d'execution de generation du graphe de couplage
   bidirectionnel avec ASTParser : 1 Ms
3 Valeur des cluster lors de l'initialisation :
4 Classe : behavioral.chain_of_responsibility.ErrorLogger
5 valeur de la metrique de couplage de ce cluster : 0.0
6
7 Classe : behavioral.chain_of_responsibility.Test
8 valeur de la metrique de couplage de ce cluster : 0.0
9
10 Classe : behavioral.chain_of_responsibility.FileLogger
11 valeur de la metrique de couplage de ce cluster : 0.0
12
13 Classe : behavioral.chain_of_responsibility.ConsoleLogger
14 valeur de la metrique de couplage de ce cluster : 0.0
15
16 Classe : behavioral.chain_of_responsibility.Logger
17 valeur de la metrique de couplage de ce cluster : 0.0
18
19 Classe : behavioral.chain_of_responsibility.LogRequest
20 valeur de la metrique de couplage de ce cluster : 0.0
21
22
23 Creation de la hierarchie des clusters :
24
25 Construction des partitions
26
27 Couplage du pere : 0.056
28
29 moyenne des couplages des fils : 0.028
30
31 On ajoute le pere a la partition
32
33 Partitions Construites a cette etape :
34 Classe : behavioral.chain_of_responsibility.ErrorLogger
35 Classe : behavioral.chain_of_responsibility.LogRequest
36 Classe : behavioral.chain_of_responsibility.Logger
37 Classe : behavioral.chain_of_responsibility.ConsoleLogger
38 Classe : behavioral.chain_of_responsibility.FileLogger
39 valeur de la metrique de couplage de ce cluster : 0.056
40
41
42 Partitions Construites a cette etape :
43 Classe : behavioral.chain_of_responsibility.ErrorLogger
44 Classe : behavioral.chain_of_responsibility.LogRequest
45 Classe : behavioral.chain_of_responsibility.Logger
46 Classe : behavioral.chain_of_responsibility.ConsoleLogger
47 Classe : behavioral.chain_of_responsibility.FileLogger
```



```

48 valeur de la metrique de couplage de ce cluster : 0.056
49
50
51 Partitions Construites a cette etape :
52 Classe : behavioral.chain_of_responsibility.ErrorLogger
53 Classe : behavioral.chain_of_responsibility.LogRequest
54 Classe : behavioral.chain_of_responsibility.Logger
55 Classe : behavioral.chain_of_responsibility.ConsoleLogger
56 Classe : behavioral.chain_of_responsibility.FileLogger
57 valeur de la metrique de couplage de ce cluster : 0.056
58
59
60 Partitions Construites a cette etape :
61 Classe : behavioral.chain_of_responsibility.ErrorLogger
62 Classe : behavioral.chain_of_responsibility.LogRequest
63 Classe : behavioral.chain_of_responsibility.Logger
64 Classe : behavioral.chain_of_responsibility.ConsoleLogger
65 Classe : behavioral.chain_of_responsibility.FileLogger
66 valeur de la metrique de couplage de ce cluster : 0.056
67
68
69
70 ***** liste Final des partitions *****
71
72
73
74 partition :
75 Classe : behavioral.chain_of_responsibility.ErrorLogger
76 Classe : behavioral.chain_of_responsibility.LogRequest
77 Classe : behavioral.chain_of_responsibility.Logger
78 Classe : behavioral.chain_of_responsibility.ConsoleLogger
79 Classe : behavioral.chain_of_responsibility.FileLogger
80 Nombre de partitions : 1
81 Temps d'execution de calcul des partitions avec ASTParser : 2 Ms

```

Listing 4 – Trace de l’algorithme n°2 du partitionnement

Références bibliographiques

- [1] Renaud PAWLAK et al. « Spoon : A Library for Implementing Analyses and Transformations of Java Source Code ». In : *Software : Practice and Experience* 46 (2015), p. 1155-1179. DOI : [10 . 1002 / spe . 2346](https://doi.org/10.1002/spe.2346). URL : [https : / / hal . archives-ouvertes . fr / hal - 01078532 / document](https://hal.archives-ouvertes.fr/hal-01078532/document).
- [2] Abdelhak-Djamel SERIAI. *Évolution et maintenance des systèmes logiciels*. Paris : Hermès Science publications Lavoisier, 2014. ISBN : 9782746245549.